

TECHNIKA CIEPLNA

CZASOPISMO STOWARZYSZENIA DOZORU KOTŁÓW W WARSZAWIE

OFICJALNY ORGAN POLSKIEGO KOMITETU NORMALIZACYJNEGO DLA SPRAW KOTŁOWYCH

REDAKTOR: Inż. techn. JAN KOMARNICKI.

Wydawca: Stowarzyszenie Dozoru Kotłów w Warszawie.

REDAKCJA I ADMINISTRACJA: WARSZAWA, PIUSA XI 32, m. 12. TEL. 8-81-47.

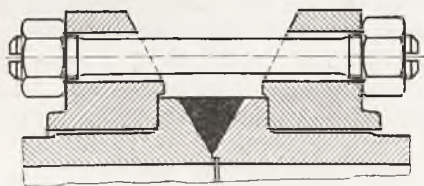
GODZINY BIUROWE: REDAKCJI—PIĄTKI OD 18 DO 20 i ADMINISTRACJI—CODZIENNIE, OD 10 DO 15.

Inż. ADAM EMIL SIERZPUTOWSKI.

O SPOSOBACH OBLICZANIA I PROJEKTOWANIA POŁĄCZEŃ RUROWYCH NA PARĘ WYSOKOPRĘŻNĄ I WYSOKOPRZEGRZANĄ.

Por. *Technika Ciepła*, str. 126, 1933 r.).

Połączenia, jak na rys. 12 (końce rur wywinęte, co jest tańsze niż nakuty pierścieni) okazały się w praktyce amerykańskiej, aż do dzisiejszego dnia, zdatnymi przy temperaturze nieco powyżej 400° i najwyższych ciśnieniach. Dla temperatur wyższych zaleca się ostrożność. Ponieważ grubość wywinęcia jest ograniczoną grubością ścianki rury, nie można naprężeń opanować konstrukcyjnie. Ciśnienie 100 at wywołuje w przekroju nie-



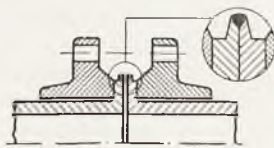
Rys. 12

Złącze spawane z luźnemi krzywiznami.

bezpiecznym naprężeniem zginające 13 kg/mm^2 . Siła śrub wywołuje tylko ściskanie wywinęcia, nie wpływając na podwyższenie naprężeń zginających. Do nacisku pary należy doliczyć siły podłużne w rurach, które wynoszą około 6 kg/mm^2 w wypadku, gdy rury posiadają naprężenia wstępne, pochodzące od ich wstępnego naciągu przy pomocy kompensatorów rurowych. Ponadto w połączeniach tego rodzaju dołącza się to, że przy nagrzewaniu kołnierze są zimniejsze niż wywinęcie, a tarcie nie pozwala mu swobodnie się wydłużać—stąd dodatkowe naprężenie w wywinęciu. Jak się te naprężenia składają trudno jest ściśle podać, jednak przy temp. 475° w rurze w czasie rozruchu powinno zająć przekroczenie granicy płynności, a w czasie ruchu gra-

nicy pełzania zwykłej stali; połączenie powinno się więc zlizować, a może nawet rury mogłyby się wyciągnąć.

Dla połączeń rurowych kołnierzowych wykonanych według Dinorm 64 dla rur $\varnothing 300 \text{ mm}$ (które przy $40 - 45 \text{ at}$ odpowiadają mniej więcej pod względem wydajności przewodom na 100 at i $\varnothing 175 \text{ mm}$) naprężenia w kołnierzu są, jak rys. 13 wskazuje, prawie takie same jak w wysokoprężnych. Śruby są przy 4-krotnym nacisku pary natężone do 20 kg/mm^2 przy wyższym, a 15 kg/mm^2



Rys. 13

Konstrukcja złącza wg. Sargola i Wevera. Złącze spawane z wywinętymi końcami rur.

przy średnim ciśnieniu. Ze względu na śruby możnaby więc przy średnim ciśnieniu dopuścić o $20 - 25^{\circ}$ wyższą temperaturę pary, sytuacja w kołnierzu pogorszyłaby się jednak. Połączenia z wywinętymi końcami rur są przy 40 at o 10% mniej obciążone niż przy 100 at . I tu przy podwyższeniu temperatury o $10 - 20^{\circ}$, a więc poniżej 500° , warunki pracy będą równie trudne, jak przy 100 at i 470° .

Wszystkie połączenia kołnierzowe, w których zastosowano rozwalcowanie lub też podobny sposób, polegający na deformacji tworzywa, nie zapewniają z powodu pełzania, w temperaturach przewyższających znacz-

nie 400°, dostatecznej pewności, nawet gdyby no kilku tysiącach godzin pracy nie wykazały żadnych zewnętrznych wad. Nadmienić musimy, iż mocniejsze naciąganie śrub niż to odpowiada ich trwałej wytrzymałości jest nie tylko bezcelowe, ale szkodliwe, gdyż prowadzi do przekroczenia granicy płynności w czasie rozruchu i odkształceń wskutek pełzania. W związku z temi wszystkimi trudnościami, z którymi się przy stosowaniu połączeń kołnierzowych spotykamy, nasuwa się pytanie, czy nie należałoby uciec się do zwykłego spawania przewodów. Połączenia spawane, wzmacniane nakładkami — lub nie, są dziś w zasadzie wykonalne bez specjalnych zastrzeżeń. Nie mniej jednak złe połączenie, gdy się kiedyś takie trafi, nie da się zewnętrznie od dobrego odróżnić. Nie do przewidzenia groźne następstwa, jakie mogą powstać przy zerwaniu się takiego połączenia, nie pozwalają na wzięcie na siebie przy wysokich temperaturach odpowiedzialności za ich użycie, dopóki nie będziemy mieli praktycznych metod do sprawdzania wykonanych spawów.

Dla projektującego połączenia, w celu odpowiedniego doboru gatunków stali i odpowiednich wymiarów części połączenia, należy podać prócz stosownego sposobu obliczania naprężeń i wskazówek natury konstrukcyjnej, również pewne informacje jak przedstawia się stosunek naprężeń zachodzących po dłuższym ruchu, do zwykłych wskazań w tej dziedzinie. W pracach „Pomp’a i Dahmen’a”, jak również „Pomp’a i Enders’a” proponowane jest, aby te naprężenia przy których szybkość pełzania wynosi w 25-ej do 35-tej godz. $15.10^{-4}\%$ i w 5—10-tej godz. $30.10^{-4}\%$, oznaczyć jako wytrzymałość trwałą. Z prób wykonanych przy 400° znajdujemy przez ekstrapolację, że odpowiednia wytrzymałość trwała dla stali EFD 70 wynosi $40-50 \text{ kg/mm}^2$, próby przy 470° dają przez ekstrapolację cyfrę 20 kg/mm^2 . Na podstawie więc wyżej określonego pojęcia, dla rozpatrywanych w naszym wypadku temperatur naprężenie 25 kg/mm^2 należałoby uważać za dopuszczalne. W kołnierzach wykonanych ze stali, odpowiadającej mniej więcej stali „C 6” w pracach Pomp’a i Enders’a, mielibyśmy przy 500° — 10 kg/mm^2 , przy 400° — 20 kg/mm^2 , a więc w temperaturze ruchu około 13 kg/mm^2 wytrzymałości trwałej. Faktycznie pełzanie nastąpiło przy obciążeniach znacznie niższych. Odstępstwa są tak duże, że dla stali EFD 70 i twardej stali węglistej zasady Pomp’a i Enders’a praktycznie stosować nie można. Nawet dla stali kruppa FK 345, odznaczającej się większą wytrzymałością trwałą, stosowanie tej zasady prowadzi przypuszczalnie do zbyt optymistycznych wyników. Według badań Kruppa szybkość pełzania stali FK 345 przy 13 kg/mm^2 i 485° wynosi w 5—10-ej godzinie — $4.10^{-4}\%$, co przez

ekstrapolację daje dla szybkości $30.10^{-4}\%$ wartość odpowiadającą granicy płynności.

Zbliżywszy się bardziej do warunków praktycznych, przyjmując pogląd Tapsell’a, według którego dopuszczalna jest szybkość pełzania $0,001\%$ na 24 godz. po 40 dniach. Na podstawie 1000 godz. próby nad stałą EFD 70 daje to dopuszczalne naprężenie 10 kg/mm^2 co zgadza się z praktycznymi warunkami. Ponieważ tak długie próby nad wszystkimi stalami są nie do przeprowadzenia, możnaby może założyć wytrzymałość trwałą według Pomp’a i Enders’a, uważać ją jednak tylko jako wartość rachunkową i, w zależności od warunków konstrukcyjnych, stosować $1\frac{1}{2}$ — 3-krotną pewność.

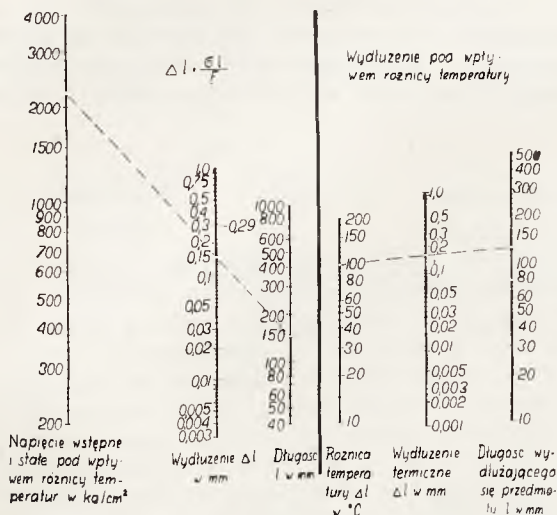
Przy montażu przewodów na parę wysokoprężną i wysokoprzeprznaną należy, jak już wspominałem, zwrócić baczną uwagę na naprężenia wstępne, które nie powinny przekraczać wielkości 3-krotnego nacisku pary. Nadmierne naprężenie wstępne wywołuje już w stanie zimnym dość duże ugięcie kołnierzy, co powoduje złe osadzenie nakrętek i powstanie dodatkowych naprężeń gnących w śrubie. Może się więc zdarzyć, że w czasie rozruchu nastąpi przekroczenie granicy płynności nawet przy użyciu śrub z najlepszego materiału. Większość monterów sądzi jednak, że przy wyższym ciśnieniu należy śruby dokręcać mocniej, a ponieważ długie rury nasadzane na klucze i młot grają tu niemałą rolę, należy podać monterowi przystępny sprawdzian, pozwalający mu kontrolować wielkość wywołanych przez niego naprężeń.

Obliczanie naprężeń wstępnych z momentu, którym dociągamy śruby, wydaje się mało celowe, ponieważ siły tarcia, przeciwdziałające dokręcaniu śrub, zbyt zależą od cech gwintu nakrętek i powierzchni kołnierza. E. Mayer stawia następującą propozycję: obliczamy sumę wszystkich odkształceń sprężystych, odpowiadających określonemu naprężeniu śruby i stąd znajdujemy odpowiedni kąt obrotu nakrętki. Punkt wyjściowy dla odmierzenia kąta może być ustalony przez użycie klucza, odpowiedniego do wstępnego dokręcenia śrub i którym możnaby tylko uzyskać dobre osadzenie nakrętki.

Bardziej praktyczną metodę podaje Saligrè. Układamy (rys. 14) następujący nomogram. Na osi lewej odmierzamy naprężenia w kg/mm^2 , na prawej zaś długości śrub. Na osi środkowej odmierzone są wydłużenia w taki sposób, że przez połączenie prostą dowolnego naprężenia z długością rozciąganą śruby odcinamy na tej osi odpowiednie Δl . Np.: dla 1500 kg/mm^2 i 146 mm wynosi $\Delta l = 0,1 \text{ mm}$. Monter wie więc, że śrubę tej długości powinien dopóty dokręcać, dopóki ona się nie wydłuży o $0,1 \text{ mm}$. Śrubę mierzymy suwmiarką wkładając między suwmiarkę a jeden z końców śruby blaszkę o gru-

bości 0,1 mm i tak nastawiona suwmiarka służy nam jako sprawdzian w czasie dokręcania nakrętki.

Na podstawie pomiaru temperatur rzeczywiste panujących w różnych częściach połączenia możemy obliczyć naprężenia, jakie się w nich pojawią w czasie rozruchu.



Rys. 14

Nomogram do obliczenia wstępnego natężenia śrub.

Jeżeli będziemy uważać kołnierze i rurę, jak to się często w rachunkach wytrzymałościowych zakłada, za sztywne, zadanie nasze staje się stosunkowo proste i szybko prowadzi do rezultatu. Odształceniami sprężystymi, które kompensują różnice odształceń cieplnych będą wówczas wyłącznie wydłużenia śrub i ściśnięcie szczeliwa, obydwa w granicach sprężystości, czyli według prawa Hook'a

$$l = \frac{P \cdot l}{E \cdot f} \dots \dots \dots (1)$$

Odształcenia całkowite, sprężyste i ciepłe wynoszą więc w czasie ruchu:

a) szczeliwa

$$\Delta l_0 = \beta l_1 t_1 - \frac{P_1 - P_0}{E f_1} \cdot l \dots \dots (2)$$

b) śrub

$$\Delta l_2 = \beta l_2 t_6 - \frac{P_2 - P_0}{E f_2} \dots \dots (3)$$

c) kołnierzy

$$\Delta l_0 = \beta l_0 t_1 + l_0 \cdot \beta \cdot \frac{t_3 + t_7}{2} \dots \dots (4)$$

gdzie β jest współczynnikiem rozszerzalności

tworzywa metalowego, z którego wykonano części połączenia.

Naprężenia wywołane wydłużeniami cieplnymi są kompensowane przez odształcenia sprężyste powstałe ze wzrostu obciążenia wstępnego P_0 na obciążenie P_1 i P_2 w czasie ruchu. Z warunków konstrukcyjnych wynika, że

$$\Delta l_2 = \Delta l_0 + \Delta l_1 \dots \dots (5)$$

Na śruby działa siła ciśnienia pary P_d i nacisk szczeliwa P_1 :

$$P_2 = P_1 + P_d \dots \dots (6)$$

Z powyższych równań otrzymujemy:

$$P_1 = P_0 - P_d \cdot \frac{l_2 / f_2}{l_1 / f_1 + l_2 / f_2} + \beta E \frac{l_1 t_1 + l_0 (t_1 + 1/2 t_3 + 1/2 t_7) - l_2 t_6}{l_1 / f_1 + l_2 / f_2} \dots (7)$$

$$P_2 = P_0 + P_d \frac{l_1 / f_1}{l_1 / f_1 + l_2 / f_2} + \beta E \frac{l_1 t_1 + l_0 (t_1 + 1/2 t_3 + 1/2 t_7) - l_2 t_6}{l_1 / f_1 + l_2 / f_2} \dots (8)$$

Wyrażenie

$$P_w = \beta E \frac{l_1 t_1 + l_0 (t_1 + 1/2 t_3 + 1/2 t_7) - l_2 t_6}{l_1 / f_1 + l_2 / f_2} \dots (9)$$

jest dla śrub i szczeliwa jednakowe i daje nam wielkość obciążenia ich wskutek wydłużeń cieplnych. Pozornie wydaje się celowe, dla zmniejszenia P , zastosowanie dłuższych śrub, gdyż zwiększenie l_2 zarówno zmniejsza licznik jak i powiększa mianownik. Należy pamiętać jednak, że zwiększając l_2 powiększamy również l_1 lub l_0 i osłabiamy w ten sposób wpływ l_2 . Poza tym przy bardzo długich śrubach zachodzi obawa, że będą się one o wiele wolniej nagrzewać, gdyż ciepło ma dłuższą drogę do przebiecia, może się więc zdarzyć, że wyrażenie $l_2 t_6$ mimo wzrostu l_2 zmaleje. Z wyrażenia na P_w widać, że na wielkość sił można wpływać przez odpowiedni dobór przekrojów f_1 i f_2 ; jeszcze bardziej staje się to widoczne jeśli obliczymy naprężenia.

$$\sigma_1 = \frac{P_1}{f_1} - P_d \frac{l_2}{l_1 f_2 + l_2 f_1} + \beta E \frac{l_1 t_1 + l_0 (t_1 + 1/2 t_3 + 1/2 t_7) - l_2 t_6}{l_1 + l_2 f_1 / f_2} \dots (10)$$

$$\sigma_2 = \frac{P_v}{f_2} + P_d \frac{l_1}{l_1 f_2 + l_2 f_1 / f_2 f_2} + \beta E \frac{l_1 t_1 + l_0 (t_1 + 1/2 t_3 + 1/2 t_7) - l_2 t_6}{l_1 f_2 / f_1 + l_2 f_2 / f_2} \quad (11)$$

Naprężenie w śrubach obliczone jest dla przekroju f_2 (podtoczenie śruby). Przy obliczeniu wydłużenia, podtoczenia nie uwzględniamy, gdyż jest ono na b. małej długości

a) Połączenie nieizolowane:

$$t_1 = 229^\circ, t_3 = 117, t_7 = 148^\circ, \\ t_6 = 83^\circ\text{C}$$

Siła	Naprężenie	Siła	Naprężenie
kg	kg/cm ²	kg	kg/cm ²

Śruba nieobtoczona	218.900	4.050, 2.840 ¹⁾	196.500	2.440
Śruba obtoczona na \varnothing rdzenia	165.200	3.060	142.800	1.770

b) Połączenie izolowane:

$$t_1 = 241^\circ, t_3 = 151^\circ, t_7 = 171^\circ, \\ t_6 = 135^\circ\text{C}$$

Śruba nieobtoczona	159.600	2.950, 2.070	137.200	1.700
Śruba obtoczona	123.100	2.280	100.700	1.250

Uwzględnienie sprężystości kołnierzy.

Jest oczywiście, że główną rolę odgrywa tu ugięcie kołnierzy. Miejscowe odkształcenia pod nakrętkami oraz ściśnięcie kołnierzy nie mają zbyt wielkiego znaczenia.

Jeśli przyjmiemy, że siły śrub rozłożone są na kole podziałowym śrub w sposób ciągły, odpowiada obciążenie kołnierza — płyty okrągłej, obciążonej symetrycznie i można ugięcie kołnierza obliczyć na podstawie teorii zginania takiej płyty. Dla zewnętrznej części kołnierza (nazewnątrz koła podziałowego śrub) obowiązuje w zasadzie inne równanie różniczkowe niż dla wewnętrznej, gdyż w zewnętrznej nie mamy sił tnących. Zgadząc się zgóry na pewną nieścisłość, możemy sobie rachunek uprościć, przenosząc siły śrub na obwód zewnętrzny i zmniejszając je tak, aby zachować ten sam moment gnący. Siły śrub zmniejszą się więc

$$\frac{P_2}{P_1} = \frac{r_1 - r_a}{r_a - r_i} \quad (12)$$

i w ten sposób otrzymamy jedno równanie dla całej płyty —

$$x^2 - \frac{d^2 \varphi}{dx^2} + x \frac{d\varphi}{dx} - \varphi + Q_x = 0 \quad (13)$$

i obliczamy je dla przekroju śruby f_2 . Ponieważ f_2 jest większe od f_2' z powyższych wyrażen na σ_1 i σ_2 widzimy, że zarówno obciążenie szczeliwa jak i śrub wypada większe niż przy zastosowaniu śrub obtoczonych na średnicę rdzenia.

Poniżej podajemy wyniki obliczeń na podstawie otrzymanych wzorów dla śrub obtoczonych i nieobtoczonych, dla największych w czasie rozruchu różnic temperatur. (Rys. 6).

Dla uproszczenia wprowadziliśmy wyraz Q —

$$Q = \frac{6(m^2 - 1)}{\pi m^2 E l^3_0} \cdot \frac{r_i - r_l}{r_a - r_i} P_2 \quad (14)$$

m — współczynnik spręż. poprzecznej.

Rozwiązanie tego równania jest następujące:

$$\varphi = Bx + \frac{C}{x} - \frac{Q}{2} x \ln x \quad (15)$$

Ponieważ $\varphi = -\frac{dy}{dx}$ daje nam dalsze całkowanie

$$y = \frac{Q}{8} x^2 (2 \ln x - 1) - B \frac{x^2}{2} - C \ln x + D \quad (16)$$

Układ spólrzędnych obrano tak, że jedna płaszczyzna przechodzi pośrodku grubości kołnierza; stąd pierwszy warunek graniczny:

$$x = r_i; y = 0 \text{ co daje}$$

$$\frac{Q}{8} r_i^2 (2 \ln r_i - 1) - B \frac{r_i^2}{2} - C \ln r_i + D = 0 \quad (17)$$

Ponieważ na zewnętrznej powierzchni muszą

¹⁾ Druga wartość odnosi się do pełnego przekroju śruby.

zniknąć naprężenia w kierunku promieniowym, t.zn. dla $x = r_a$; $\sigma_r = 0$: otrzymujemy z równania na te naprężenia: (z — odległość od płaszczyzny obojętnej)

$$\sigma_r = \frac{mEz}{m^2 - 1} \left(m \cdot \frac{d\varphi}{dx} + \frac{\varphi}{x} \right) \dots (18)$$

$$B(m+1) - \frac{C}{r_a^2}(m-1) - \frac{Q}{2} \ln r_a (m+1) - \frac{mQ}{2} = 0 \dots (19)$$

Trzeci warunek graniczny jest zależny od sposobu osadzenia kołnierzy na rurze. W naszym wypadku kołnierz jest naśrubowany i przypawany i, jeśli rura jest dość sztywna w stosunku do momentu wywołanego przez śruby, można kołnierz uważać za zamocowany sztywno na rurze. Jest to oczywiście wypadek krańcowy, który w rzeczywistości całkowicie nigdy nie zachodzi, dla ominięcia jednak licznych równań odkształcenia rury, musimy go przyjąć. Kontrolę tego założenia otrzymujemy rozpatrując drugi wypadek graniczny a mianowicie, że kołnierz jest osadzony luźno.

Dla pierwszego założenia $x = r_i$; $\varphi = 0$ otrzymamy:

$$B r_i + \frac{C}{r_i} - \frac{Q}{2} r_i \cdot \ln r_i = 0 \dots (20a)$$

Drugie jest spełnione, jeśli naprężenie w kierunku promieniowym na wewnętrznej średnicy kołnierza = 0. Analogicznie do równania 19 otrzymujemy:

$$B(m+1) - \frac{C}{r_i^2}(m-1) - \frac{Q}{2} \ln r_i (m+1) - m \frac{Q}{2} = 0 \dots (20b)$$

Z powyższego otrzymujemy, iż strzałka ugięcia na średnicy podziałowej śrub wynosi:

a) Kołnierz zamocowany sztywno na średnicy wewnętrznej:

$$f = \frac{Q}{4} (r_i^2 \ln r_i - r_i^2 \ln r_i) - \frac{Q}{8} (r_i^2 - r_i^2) -$$

$$\frac{Q(m-1)r_i^2 \ln r_i + (m+1)r_a^2 \ln r_a + m r_a^2 (r_i^2 - r_i^2) -}{4(m+1)r_a^2 + m-1)r_i^2} - \frac{Q r_a^2 r_i^2 (m+1) \ln r_i / r_a - m}{2(m+1)r_a^2 + (m-1)r_i^2} \ln \frac{r_i}{r_i} \dots (21a)$$

b) Kołnierz luźny

$$f = \frac{Q}{4} (r_i^2 \ln r_i - r_i^2 \ln r_i) - \frac{Q}{8} (r_i^2 - r_i^2) -$$

$$- \frac{Q(m+1)r_a^2 \cdot r_i^2}{2(m-1)r_a^2 - r_i^2} \ln \frac{r_a}{r_i} \ln \frac{r_i}{r_i} - \frac{Q(m+1)(r_a^2 \ln r_a - r_i^2 \ln r_i) + m(r_a^2 - r_i^2)}{4(m+1)(r_a^2 - r_i^2)} (r_i^2 - r_i^2) \dots (21b)$$

Strzałkę ugięcia trzeba wstawić do równania 5 podwojoną, jest ona proporcjonalna do P_2 i odwrotnie proporcjonalna do l_0^3 . Do równań 5—8 najlepiej jest wstawić ją w formie

$$f = \frac{c P_2}{E l_0^3} \dots (22)$$

Również i tu uwzględniamy tylko część ugięcia, wskutek wzrostu sił z obciążenia wstępnego P_v na obciążenie w czasie ruchu.

Całkowite odkształcenie kołnierzy będzie w obecnym wypadku mniejsze o wielkość ugięcia.

$$\Delta l_0 = \beta l_0 (t_1 + \frac{1}{2} t_3 + \frac{1}{2} t_7) -$$

$$- \frac{2c(P_2 - P_v)}{E l_0^3} \dots (23)$$

Równaniom 7—11 odpowiadają teraz równania:

$$P_1 = P_v - P_d \frac{l_2/f_2 + 2c/l_0^3}{l_1/f_1 + l_2/f_2 + 2c/l_0^3} +$$

$$+ \beta E \frac{l_1 t_1 + l_0(t_1 + \frac{1}{2} t_3 + \frac{1}{2} t_7) - l_2 t_6}{l_1/f_1 + l_2/f_2 + 2c/l_0^3} \dots (24)$$

$$P_2 = P_v + P_d \frac{l_1/f_1}{l_1/f_1 + l_2/f_2 + 2c/l_0^3} +$$

$$+ \beta E \frac{l_1 t_1 + l_0(t_1 + \frac{1}{2} t_3 + \frac{1}{2} t_7) - l_2 t_6}{l_1/f_1 + l_2/f_2 + 2c/l_0^3} \dots (25)$$

$$\sigma_1 = \frac{P_v}{f_1} - \frac{P_d}{f_1} \frac{l_2/f_2 + 2c/l_0^3}{l_1/f_1 + l_2/f_2 + 2c/l_0^3} +$$

$$+ \beta E \frac{1}{f_1} \cdot \frac{l_1 t_1 + l_0(t_1 + \frac{1}{2} t_3 + \frac{1}{2} t_7) - l_2 t_6}{l_1/f_1 + l_2/f_2 + 2c/l_0^3} \dots (26)$$

$$\sigma_2 = \frac{P_v}{f_2} + \frac{P_d}{f_2} \frac{l_1/f_1}{l_1/f_1 + l_2/f_2 + 2c/l_0^3} +$$

$$+ \beta E \frac{1}{f_2} \cdot \frac{l_1 t_1 + l_0(t_1 + \frac{1}{2} t_3 + \frac{1}{2} t_7) - l_2 t_6}{l_1/f_1 + l_2/f_2 + 2c/l_0^3} \dots (27)$$

Z równań 24 — 27 otrzymujemy następujące wyniki cyfrowe:

a) Połączenie niez izolowane, śruby obtoczone.

$$t_1 = 229^\circ, t_3 = 117^\circ \quad t_7 = 148 \quad t_6 = 83^\circ C.$$

	Śruby		Szczeliwo	
	Siła kg	Naprężenie kg/cm ²	Siła kg	Naprężenie kg/cm ²
Kołnierz zamocowany na rurze	113.600	2100	91.200	1130
„ luźny	50130	930	27.730	345

b) Połączenie izolowane, śruby obtoczone:

$$t_1 = 241^\circ \quad t_3 = 151^\circ \quad t_7 = 171^\circ \quad t_6 = 135^\circ .$$

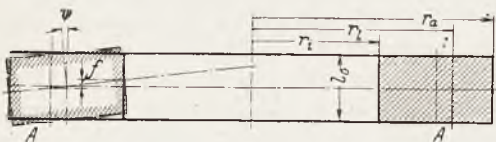
Kołnierz zamocowany	88.000	1630	65.600	815
„ luźny	44.850	830	22450	280

Porównując powyższe wyniki z wynikami z poprzedniego rozdziału, widzimy, że zakładając kołnierz całkowicie sztywnym, otrzymujemy za duże wartości sił i naprężeń. Poprzednie obliczenie ma jednak tę zaletę, iż wskazuje jak pomocnym środkiem w opanowaniu naprężeń, wywołanych niejednakowo szybkim nagrzewaniem się, jest elastyczność kołnierzy. Bezwątpienia mieliśmy tak mało kłopotu z nisko i średnioprężnymi połączeniami z powodu mniejszej grubości kołnierzy, które są przez to bardziej elastyczne.

Przybliżona metoda obliczenia kołnierza.

Obliczenie kołnierza na podstawie teorii płyt okrągłych połączone jest ze znaczną pracą. Dla kołnierza luźnego możemy ją sobie znacznie zmniejszyć stosując metodę obliczania wytrzymałości płyt płaskich Bach'a.

Krajemy kołnierz (rys. 15) na dwie części wzdłuż średnicy i punkty przyczepienia



Rys. 15

sił śrub i ich reakcyj przenosimy do środka ciężkości łuku podziałowego śrub, lub łuku wewnętrznego kołnierza, po obu stronach płaszczyzny krającej. W ten sposób powstaje moment gnący:

$$M = \frac{P_2}{2} 0,6366 (r_l - r_i) \quad (28)$$

który w obydwóch przekrojach A — A wywołuje naprężenia:

$$\sigma = \frac{M}{W} 0,9549 \frac{r_l - r_i}{r_a - r_i} \frac{P_2}{l_0^2} \quad (29)$$

wskaźnik wytrzymałości.

$$W = 2 (r_a - r_i) \frac{l_0^2}{6} \quad (30)$$

Odształcenia nie mogą się uformować jak w belkach prostych. Natężone włókna odkształcają się wskutek kształtu pierścieniowego w kierunku promieniowym, przez co przekrój ulega skręceniu. Na kole podziałowym śrub wynosi kąt tego skręcenia:

$$\begin{aligned} \Psi &= \frac{\varepsilon \cdot r_l}{l_0/2} = \frac{2 \sigma_l}{E l_0} = \\ &= 1,9098 r_l \frac{r_l - r_i}{r_a - r_i} \cdot \frac{P_2}{E l_0^3} \quad (31) \end{aligned}$$

i stąd strzałka ugięcia f na kole podziałowym:

$$\begin{aligned} f &= \Psi \cdot (r_l - r_i) = 1,9098 r_l \frac{(r_l - r_i)^2}{r_a - r_i} \cdot \\ &\cdot \frac{P_2}{E l_0^3} \quad (32) \end{aligned}$$

Tak obliczona strzałka jest o około 50% większa od obliczonej na podstawie ścisłej teorii. Przyczyna rozbieżności wyników jest następująca. Założenie, że naprężenia rozkładają się równomiernie w kierunku promieniowym jest nieścisłe, gdyż siły tnące w przekrojach cylindrycznych (obliczone na jednostkę obwodu) muszą do wewnątrz wzrastać i kąt Ψ (równanie 31) będzie tem mniejszy, im bardziej do wewnątrz będzie obliczany. Można fakt ten w prosty sposób uwzględnić, zachowując poprzednie założenie. Kąt Ψ jest wtedy proporcjonalny do promienia X

$$\Psi = 1,9098 \frac{r_l - r_i}{r_a - r_i} \cdot \frac{P_2}{E l_0^3} \cdot X \quad (33)$$

ugięcie f otrzymamy przez scałkowanie dx w granicach $r_l < x < r_l$

$$f = 1,9098 \frac{r_l - r_a}{r_a - r_l} \cdot \frac{P_2}{El_0^3} \int_{r_l}^{r_l} x dx =$$

$$= 1,9098 \frac{r_l - r_l}{r_a - r_l} \frac{P_2}{El_0^3} \frac{r_l^2 - r_l^2}{2} \quad (34)$$

Na podstawie doświadczeń w ruchu i teoretycznych rozważań dochodzimy więc do następujących wniosków:

1. Do połączeń na parę wysokoprężną nadają się tylko pierścienie uszczelniające o przekroju prostokątnym. Pierścienie o przekroju trapezowym nie nadają się zupełnie.

2. W sztywnych kołnierzach występują przy nagrzewaniu naprężenia, które mogą być większe od wywołanych przez ciśnienie pary i naprężenia wstępne. Przy ostrożnym nagrzewaniu przewodów można te naprężenia utrzymać w granicach bezpiecznych, o ile kołnierze są możliwie elastyczne.

3. Elastyczność kołnierzy zapewniamy:

- a) nadając im taką grubość, jaka jest tylko niezbędna ze względu na wytrzymałość.
- b) Umożliwiając kołnierzom swobodne przeginanie się; osiągamy to używając kołnierzy luźnych.

4. Wykonywać należy śruby obtoczone na średnicę rdzenia na całej nienagwintowanej ich części.

5. Połączenie winno być dobrze izolowane od strat ciepłych.

6. Należy zwrócić baczną uwagę, aby konstrukcja sprzyjała szybkiemu nagrzewaniu się śrub.

7. Najracjonalniejszym byłoby postępowanie następujące: projektować połączenie w każdym poszczególnym wypadku, biorąc pod uwagę następujące dane:

- a) Prężność i temperaturę przegrzania pary,
- b) czas rozruchu i, znaleziony drogą bezpośrednich pomiarów, rozkład temperatur, panujących w połączeniu podczas rozruchu.

Mając te dane, możemy sposobem przemennie podanym przeliczyć najwyższe naprężenia, mogące wystąpić w czasie rozruchu w przekrojach różnych elementów zaprojektowanego połączenia.

8. Tą drogą, jedynie, możemy dojść w każdym poszczególnym wypadku, dla danych warunków pracy, do racjonalnie pracującego połączenia.

Połączenie tak zaprojektowane spełniać będzie swoje zadanie dotąd, dopóki warunki pracy nie ulegną zmianie.

9. Nie posiadamy dotąd dla pary wysokoprężnej i wysokoprężnej zadawalającego rozwiązania konstrukcyjnego połączeń rur parowych.

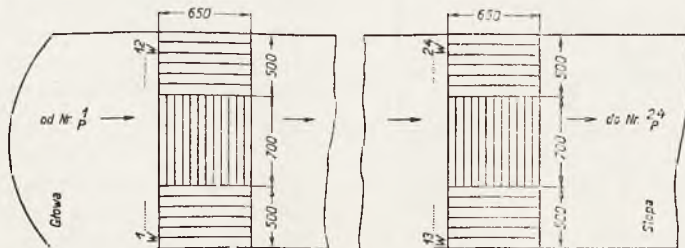
Idealnym rozwiązaniem byłoby proste spawanie ze sobą rur parowych, obecnie jednak, przy niemożności ocenienia zupełnej prawidłowości wykonania spawu, byłoby to zbyt ryzykowne.

Dr. Inż. STANISŁAW JAMRÓZ.

ZAGADNIENIE DOPUSZCZALNYCH NAPRĘŻEŃ DLA BLACH KOTŁOWYCH Z UWZGLĘDNIENIEM WPŁYWU TEMPERATURY.

Por. *Technika Ciepła*, str. 130, 1933 r.).

Rys. 13 przedstawia wykreślenie uzyska- wykreślono średnią wartość granicy płynno-



Rys. 10

ne wyniki badań, dla obydwu blach i czterech sposobów pobrania próbki. Oprócz tego

ści 0,2% dla całej blachy (grubsza linja na wykreśle).

Na podstawie powyższych wyników badań i obcych można przyjąć, że granica płynności przy 0,2% zachowuje praktycznie stałą wartość do 200° poczem dopiero ulega znacznemu spadkowi.

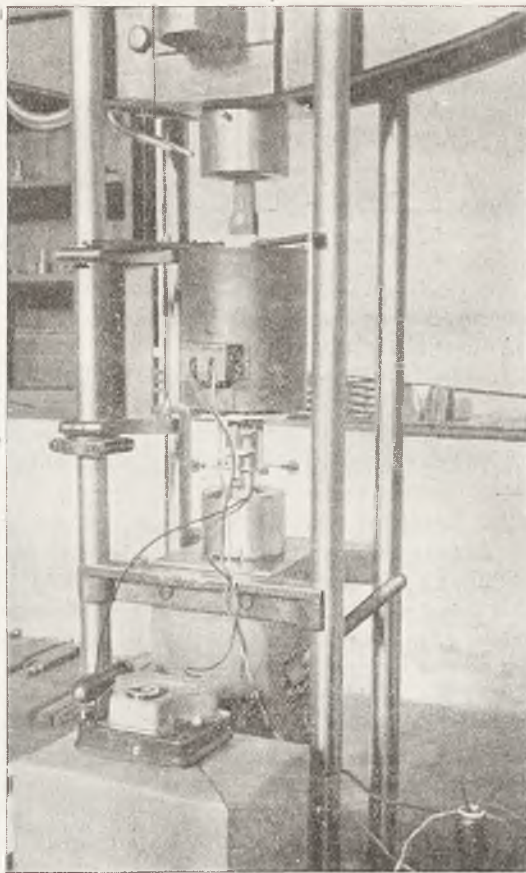
Porównanie otrzymanych bezwzględnych wartości granicy płynności dla poszczególnych blach kotłowych z wynikami badań niemieckich przedstawia tablica 1.

Powyższe wartości są obliczone jako średnie dla każdej blachy. Najmniejsze różnice między poszczególnymi wynikami uzyskano przy 20°, wpływ bowiem warunków badania przy tej temperaturze jest stosunkowo najmniejszy. Przy 200° najwyższe wyniki dla kategorii I dają badania M. S. D., potem następuje Urbańczyk, najniższe — Körber i Pomp, chociaż dla II kategorii jeden wynik wskazuje powyżej wyników M. S. D. i Urbańczyka.

Przy 300° i 400° najwyższe wyniki uzyskuje Urbańczyk, zaś wyniki M. S. D. są dla kategorii I najniższe.

Daje się to wytłumaczyć różnicą czasu trwania obciążenia, badania Urbańczyka bowiem nie uwzględniają wpływu czasu obciążenia na wyniki pomiarów. Przy badaniach M. S. D. czas trwania obciążenia wynosił 10 minut, przy użyciu krótkiego okresu czasu (10 sek.) do odczytów wynikały wnioski, z których nie można było korzystać.

Badania Fischera - Ehmkego (Kruppsche Monatshefte 1929, str. 209), podające wartości zaokrąglone, jako rzekomo wartości średnie, są mało wiarogodne wobec nieokreślenia warunków badania i wpisania do tablic wartości,



Rys. 11

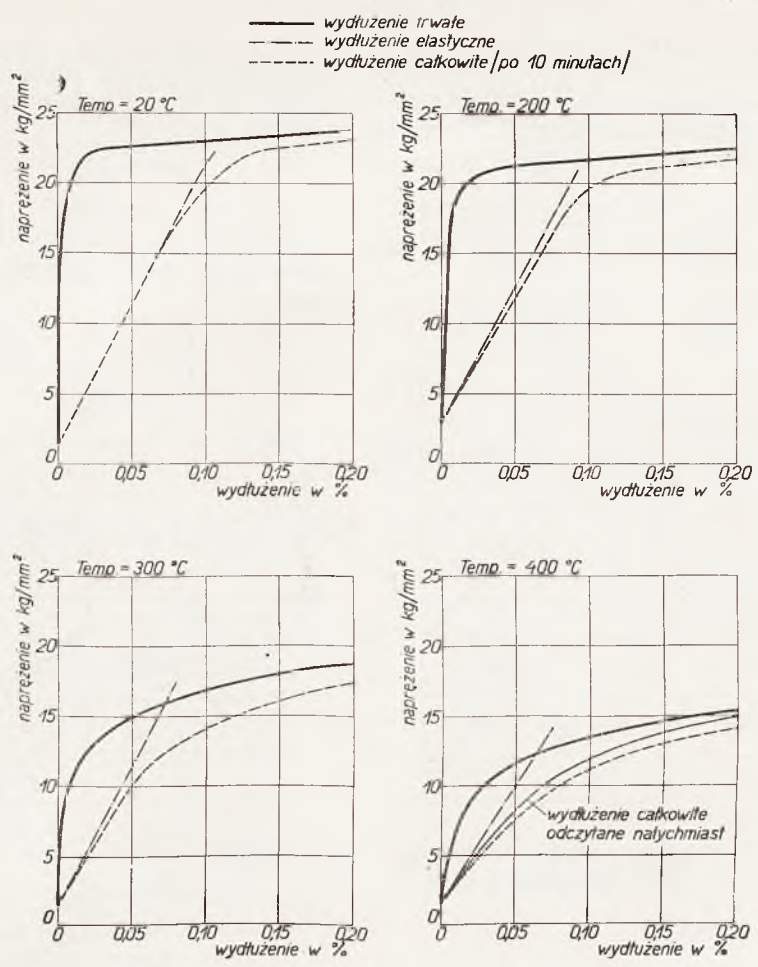
T A B L I C A 1.

	I. Kategoria (K) (35 — 44)						II. Kategoria (D) (41 — 50)					
	20°	100°	200°	300°	400°	500°	20°	100°	200°	300°	400°	500°
Körber i Pomp 1927.	19,6	17,1	15,8	11,7	11,7	7,4	25,7	23,6	25,2	15,2	14,8	10,1
	21,0	21,4	18,5	12,9	13,2	8,2	20,8	20,4	20,2	12,3	12,0	8,5
	17,3	17,5	16,4	11,8	12,0	7,6	—	—	—	—	—	—
Körber i Pomp 1930.	20,9	—	—	12,1	11,6	8,8	21,6	—	—	14,3	13,0	9,8
	19,4	—	—	12,9	11,5	8,6	20,0	—	—	14,6	12,7	11,0
Urbańczyk 1927.	22,1	—	—	12,9	11,4	9,3	21,7	—	—	15,3	14,6	10,6
	19,7	17,8	18,6	16,0	12,4	9,3	25,0	24,7	24,0	20,9	16,0	11,7
M. S. D. 1931 — 32.	19,8	20,2	19,5	13,8	11,2	—	23,4	24,0	22,7	18,7	15,4	—

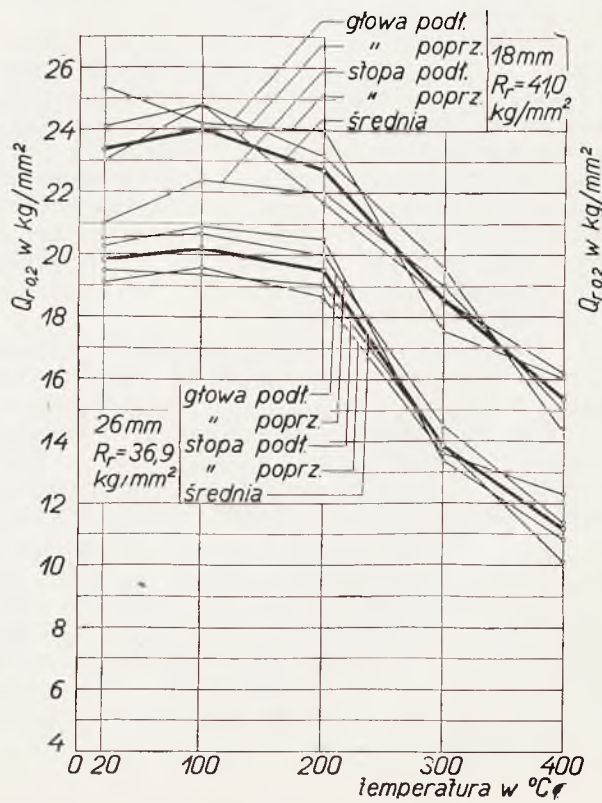
które nie mają żadnego uzasadnienia (przyjęto zmniejszenie gr. płynności $\frac{1}{2}$ kg/mm² na każde 10° wzrostu temperatury).

Wyżej przedstawione pomiary miały słu-

żyć do określenia pewnych wartości naprężeń, które mają być przyjęte za obliczeniową granicę płynności, analogiczną do obliczeniowej wytrzymałości na rozciąganie.



Rys. 12



Rys. 13

Autorowie niemieccy schodzą dość nisko z propozycjami obliczeniowej granicy płynności i podawane wartości nie odpowiadają wartościom rzeczywistym, są przyjęciami już z pewnym, zupełnie niepotrzebnym współczynnikiem pewności, wobec istnienia przecież właściwego współczynnika pewności.

Propozycja M. S. D. oparła się na założeniu, że do 200° wpływ temperatury na granicę płynności jest stosunkowo nieznaczny, tak że można przyjąć pewną jej stałą wartość: i tak dla kategorii (K) przyjęto 18 kg/mm², dla kategorii (D) — 21 kg/mm².

Przyjęcie stosunkowo niskich wartości granicy płynności dla zakresu od 20° — 200° mimo uzyskania faktycznie wyższych wartości, daje dla obu kategorii zachowanie praktycznie tych samych naprężeń dopuszczalnych wychodząc czy to z wytrzymałości na rozciąganie, czy też z granicy płynności.

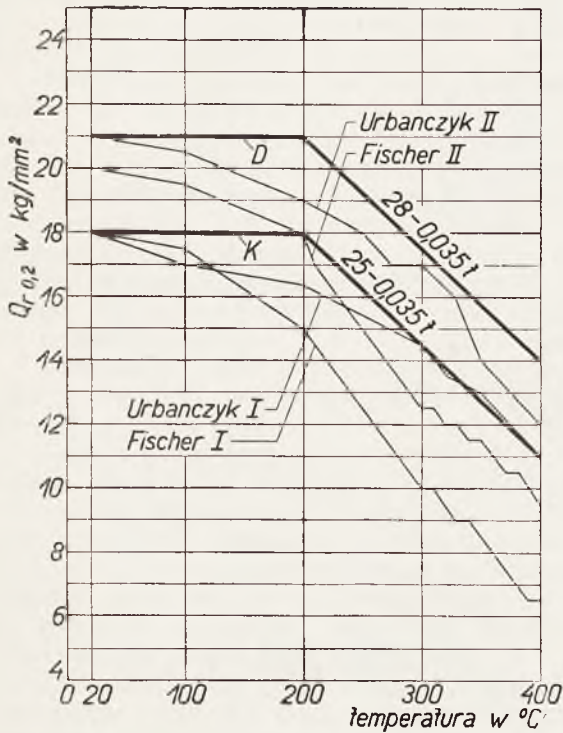
Ułatwiło to również dobranie właściwszego przebiegu spadku granicy płynności do 400°. Przebieg ten uzyskano przez przyjęcie przy 400° dla kateg. (K) 11 kg/mm², dla kateg. (D) — 14 kg/mm² i połączenie tych punktów linią prostą z punktami 18 i 21 kg/mm² przy 200°.

Otrzymane linie proste wyrażone są równaniami:

dla kategorii (K): $Y_K = 25 - 0,035 t$;

" " (D): $Y_D = 28 - 0,035 t$;

Rys. 14 przedstawia wykreślnie propozycję M. S. D. obliczeniowej gr. płynności, gdzie zostały równocześnie wkreślone do porównania propozycje Urbanczyka i Fischera dla tych kategorii blach kotłowych.



Rys. 14

Propozycja powyższa została przyjęta jednomyślnie na posiedzeniu Komisji Kociołowej w dniu 1 sierpnia 1931 r.

Górną granicę temperatur dla obliczeniowej granicy płynności przyjęto 400°, gdyż na podstawie własnych badań wytrzymałości trwałej wynika, że do tej tylko temperatury można uważać gr. płynności oznaczoną przy 10 minutach czasu trwania obciążenia za praktyczne przybliżenie trwałej granicy płynności. Powyżej tej granicy występują zjawiska trwałego płynięcia tak znacznie, że tylko przez ich uwzględnienie można dojść do ustalenia obliczeniowych naprężeń.

Ponieważ ustalenie z poszczególnych pomiarów wartości wytrzymałości trwałej jest dość trudne, a nie każdemu konstruktorowi jest dostępna rozrzucona dotycząca tej sprawy literatura, której interpretacja jest zresztą uciążliwa, M. S. D. zaproponowała tymczasowe wartości obliczeniowej wytrzymałości trwałej.

Na rys. 15 przedstawiono zestawienie przebiegu gr. płynności od 20° — 600° dla obydwu kategorii blach kotłowych (K i D) na podstawie badań M. S. D. i badań Urbanczyka, oraz wytrzymałości trwałej wg. badań Pompa i Högera dla zakresu 300° — 500° i niezależnie od tego wpisano wartości z pomiarów Galibourga i Lea.

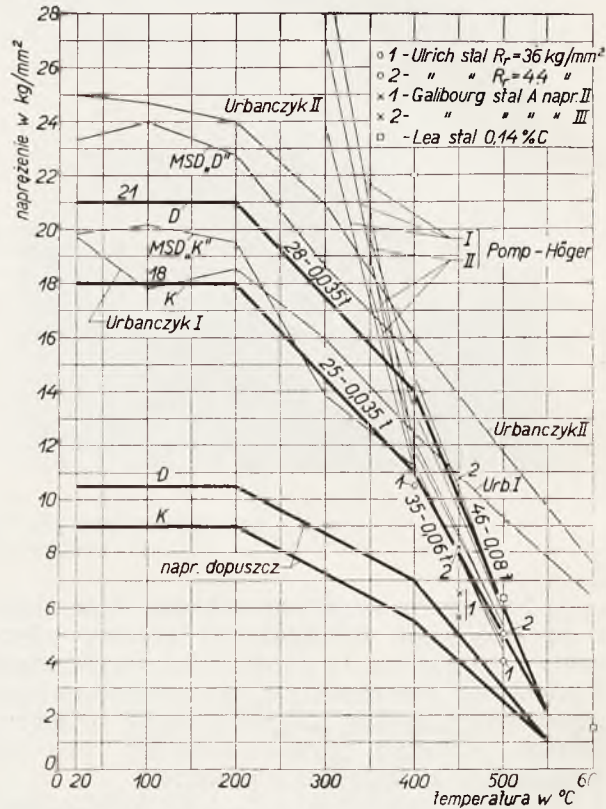
Do określenia równań linii prostych, przedstawiających obliczeniową wytrzymałość trwałą, przyjęto następujące wartości wytrzymałości trwałej:

	przy 400°	500°	550°
K	11,0	5,0	2,0 kg/mm ²
D	14,0	6,0	2,0 kg/mm ²

Otrzymano dwie proste o następujących równaniach:

$$(K) \quad Y_K = 35 - 0,06 t;$$

$$(D) \quad Y_D = 46 - 0,08 t;$$



Rys. 15

Obydwie proste przecinają oś odciętych w okolicy 580°, przyjęcie jednak temperatury 550° nie będzie zbyt daleko posuniętą ostrożnością, zważywszy, że w rzeczywistości wytrzymałość trwała blach kotłowych zdąży prawdopodobnie asymptotycznie do zera, przybierając jednak już przy 600° wartości nie mające praktycznego znaczenia.

Na rys. 15 zostały też wkreślone wartości naprężeń dopuszczalnych, ustalone z obliczeniowej granicy płynności i wytrzymałości trwałej, przez wprowadzenie współczynnika pewności.

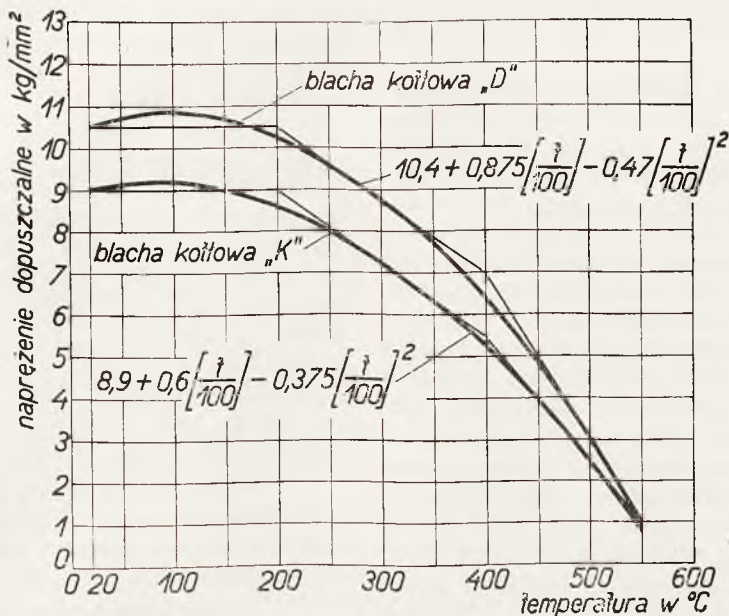
Współczynnik ten wg. polskich przepisów kotłowych wynosi 4 w stosunku do wytrzymałości na rzeziąganie, a w stosunku do granicy płynności 2.

Również w stosunku do wytrzymałości trwałej zastosowała M. S. D. współczynnik pewności 2. Wiąże się to logicznie, gdyż wytrzymałość trwała przejmuje rolę granicy płynności powyżej 400°.

Charakterystyczny przebieg zaproponowanych naprężeń dopuszczalnych został przedstawiony równaniami parabol drugiego rzędu:

Przyjęta temperatura (t) winna odpowiadać temperaturze blachy kotłowej w praktycznych warunkach ruchowych, określonej przepisami kotłowymi.

Obydwie krzywe zostały wykreślone na rys. 16 i jak widać spełniają one naogół bar-



Rys. 16

dla kategorii (K)

$$K = 8,9 + 0,6 \left(\frac{t}{100} \right) - 0,375 \left(\frac{t}{100} \right)^2;$$

dla kategorii (D)

$$K = 10,4 + 0,875 \left(\frac{t}{100} \right) - 0,47 \left(\frac{t}{100} \right)^2;$$

dzo dobrze wartości wypośredkowane dopuszczalnych naprężeń.

Powyższa praca wykazała niezbicie, z jaką ostrożnością należy przyjmować wyniki badań, podawane nieraz w formie pewników, jeśli warunki pomiarowe nie są dokładnie opisane.

Ś. P. PROF. TADEUSZ FIEDLER.

Dnia 7 czerwca b. r. w Mościcach pod Tarnowem zmarł ś. p. Tadeusz Fiedler, emerytowany profesor Politechniki Lwowskiej.

Ś. p. Tadeusz Fiedler urodził się w roku 1858 w Sanoku (Małopolska). W 1876 r. ukończył szkołę realną we Lwowie, poczem zapisał się na Wydział Chemiczny Politechniki Lwowskiej, lecz po dwu latach przeniósł się na Wydział Mechaniczny i w r. 1880 złożył t. zw. „II gi egzamin rządowy“. Przez następne dwa lata jest asystentem przy katedrze technologii mechanicznej, poczem, dla poratowania nadwątlonego zdrowia wstępuje

do austriackiej marynarki wojennej, gdzie przebywa 8 lat. W roku 1892, wobec ustąpienia prof. Jana Nepomucena Frankego, inż. Tadeusz Fiedler zostaje (narusze tymczasowo) jego następcą na katedrze „mechaniki i teorii machin“ i jak podaje drukowana w ówczesnym programie wykładów historia „c. k. Szkoły Politechnicznej“ — daje „się poznać z gruntownego wykształcenia i wszelkiego do nauk zamiłowania, jako bardzo utalentowany człowiek“.

Dla uzupełnienia wiadomości teoretycznych wyjeżdża jeszcze na roczne studia ma-

tematyki do Berlina i ostatecznie w roku 1894 obejmuje „katedrę mechaniki i teorii machin“. Dziś wydaje się wprost nieprawdopodobnym, że dwa tak olbrzymie działy wiedzy obejmowała jedna katedra. Po wielu latach dopiero rozdzielono ją na 4 katedry i kilka docentur.

Wykład mechaniki, jedyny wówczas na Politechnice, przeznaczony był także dla studentów wydziałów inżynierji, oraz architektury; słuchali więc go wówczas wszyscy prawie dzisiejsi profesorowie tych trzech wydziałów.

Młody profesor był doskonałym praktykiem, gdyż okręt jest uniwersalnym laboratorium maszynowym; pracuje po nocach, aby przygotować niełatwe dla praktyka wykłady z zakresu tej gałęzi wiedzy, która stanowi podstawę wszystkich poczyną inżyniera-mechanika. Świadom gwałtownego rozwoju techniki maszynowej zagranicą, rozszerza program swoich wykładów. W tym czasie bowiem rozwinęły się zagranicą bardzo silnie nowe działy, jak: chłodnictwo, technika skraplania gazów, spalanie przemysłowe, gazownictwo i t. d.

Prof. Fiedler, posiadając podstawy chemji wprowadził niezwłocznie działy te do wykładów o teorii maszyn. W r. 1898/9, dodaje ponadto osobny wykład o obsłudze, kontroli i konserwacji kotłów i maszyn parowych, który dopiero w r. 1918 przejęła inna katedra.

Wykład teorii machin obejmował oprócz termodynamiki teorię pomp i turbin wodnych, teorię motorów gazowych, teorię turbin parowych, oraz pomiary maszyn. Dopiero w latach 1908, 1912 i 1918 powstają trzy osobne katedry obok podstawowej, t.j. obok „katedry teorii maszyn cieplnych“. Wykład mechaniki również dopiero po 10 latach od chwili objęcia go przez prof. Fiedlera podzielony został na dwie katedry.

Przez długie lata miał prof. Fiedler tylko jednego asystenta, rozumiałe więc jest, jak wielką pracą organizacyjną wykonał On ofiarne przy rozbudowie wykładów o technice maszynowej na Politechnice Lwowskiej, tworząc naprawdę „szkołę“ o wysokim poziomie.

Równocześnie zajmuje stanowisko dziekana (1896/7), zostaje też członkiem Komisji II Egzaminu Rządowego. W tym to czasie prawdopodobnie pod wpływem osobistego zetknięcia się na Międzynarodowym Kongresie dla Badania Materjałów w Zurichu, z kierownikami laboratorjów wytrzymałości materjałów, oraz energetycznych — przystępuje do założenia we Lwowie podobnych instytutów. Instytuty takie nie były podówczas mile widziane na terenie Galicji przez centralizujący wszystko w Wiedniu rząd austriacki, to też jako pierwszy instytut „Krajową Mechaniczną Stację Doświadczalną“ udało się założyć dopiero w latach 1898 — 1902. Stacja, której

kierownictwo objął naturalnie prof. Fiedler i którą prowadził przez 25 lat, odrazu zyskała zaufanie sfer przemysłowych.

Następnym instytutem, który ś. p. prof. Fiedler w roku 1907 powołał do życia, było Laboratorium Kalorymetryczne. Było ono właściwie zaczątkiem Laboratorium Maszynowego.

Po wojnie przyczynił się ś. p. prof. Fiedler do tego, że potrzebę takiego laboratorium wysunęła Politechnika Lwowska na pierwszy plan swoich żądań i ostatecznie wykończyła budowę w r. 1926.

Podczas wyczerpanej działalności naukowej i organizacyjnej, ś. p. prof. Fiedler był również bardzo czynny nazewnątr. Był więc prezesem Towarzystwa Politechnicznego w roku 1899, redaktorem *Czasopisma Technicznego* w r. 1901, pracując stale w Wydziale od 1895 r. i przy rozbudowie Towarzystwa, które mianowało Go w roku 1905 swym członkiem honorowym. W tym roku zostaje również członkiem Rady Szkolnej Krajowej, w roku zaś 1902/3 rektorem Politechniki i powtórnie w r. 1911/12.

Można rzec śmiało, iż ś. p. prof. Fiedler był wówczas osią Wydziału Mechanicznego, oddziałowując przez swoją energję i na pozostałe katedry fachowe.

W tym czasie pisał dużo, zamilkł jednak na szereg lat po tragicznej śmierci Małżonki (1903 r.). Dopiero po wojnie zainteresował się aktualną wówczas gospodarką cieplną.

W roku 1932 ukazał się Jego podręcznik: „Teoria maszyn cieplnych“, do którego czcigodny autor wykonał sam wszystkie rysunki, „...aby książka była tania i każdy student mógł ją kupić i uczyć się z niej. Może ułatwię w ten sposób pracę memu następcy“. Jakżeż piękny gest profesora emeryta wobec swojej szkoły.

Prof. Fiedler był niezwykłym typem uczonogo. Studjował stale do ostatniej chwili życia bieżącą literaturę zawodową i podawał zdobyte wiadomości we własnym, oryginalnym oświetleniu, opracowując mnóstwo drobnych szczegółów. Przez młodzież był bardzo lubiany dla swego serdecznego w stosunkach z nią obojęcia i przystępności. Wykładał doskonale, przedstawiał nawet bardzo trudne zagadnienia tak prosto, że ich pozorna łatwość nieraz słuchaczy wprowadzała w błąd.

Ś. p. prof. Fiedler nie zasklepiął się w swojej specjalności, ale miał wiele innych ulubionych gałęzi wiedzy, którymi się interesował.

Poza temi umiłowaniami człowieka nauki, znajdował jednak czas, aby zająć się także sprawami społecznymi. Przez dłuższy czas zasiadał w Lwowskiej Radzie Miejskiej, a podczas wojny sprawował przez pewien okres

czasu obowiązki komisarza rządowego miasta Lwowa. Posiadał liczne obce odznaczenia, a w Polsce Komandorję orderu „Polonia Restituta“.

Ale przede wszystkim oddany był swej Uczelni i za to kochano Go i czczono powszechnie. Politechnika Lwowska, w uznaniu Jego zasług, dała Mu wszystko, co dać mogła, więc gdy jeszcze wykładał, obdarowała Go

stopniem doktora *honoris causa*, a gdy postanowił ustąpić z katedry (w r. 1928), mianowała Go swym profesorem honorowym.

Odszedł cicho, nie życzył sobie przemówień, a napis na klepsydrze miał się zaczynać od słowa „Inżynier“, bo godność tę zawodową cenił najwyżej.

Cześć Jego świetlanej pamięci!

KRONIKA TECHNICZNA

1. Nowy kocioł parowy „Velox“ Zakładów Brown-Boveri.

W *Przeglądzie Technicznym* (sierpień 1933 r. str. 406) podany jest szczegółowy opis i wyniki doświadczeń nad nowym kotłem, wykonanym przez Zakłady Brown-Boveri w Badenie w Szwajcarii.

Cechami charakterystycznymi tego kotła, na płynne paliwo (prowadzone są badania nad opalaniem pyłem węglowym) są spalanie pod stałym ciśnieniem i ogromna szybkość spalin wzdłuż powierzchni ogrzewalnej, dochodząca do 200 m/sek.

Ma on wygląd kotła stojącego; sprężarka wirnikowa tłoczy potrzebne do spalania powietrze do komory paleniskowej, spaliny na swej drodze omywają rury grzejne, umieszczone trójkami w rurach wodnych a z przegrzewacza są prowadzone do turbiny gazowej podgrzewacza i do komina.

Kocioł ze skomplikowanym zespołem maszyn, które stanowią integralną część instalacji (6 jednostek, licząc silnik elektryczny i przekładnię zębata), ma mieć regulację samoczynną, połączoną z zespołem maszyn. Ciśnienie pary, zmieniające się z obciążeniem przez specjalny regulator daje zmianę mocy silnika pomocniczego, a ten — zmianę liczby obrotów zespołu więc różne ilości i ciśnienia powietrza, paliwa i energii w spalinach do napędu turbiny gazowej.

Instalacja próbna, która pracuje od początku ubiegłego roku, o pojemności komory paleniskowej 1,05 m³, pow. ogrzewalnej kotła 22,7 m², przegrzewacza 26,5 m² i podgrzewacza 66 m² dostarcza 11250 kg/h pary o 28 atn i 380°C — co odpowiada natężeniu pow. ogrzewalnej kotła około 500 kg/m²h. Pomiarzy miały wykazać sprawność całej instalacji około 90% mimo pochłanianej b. znacznej części energii cieplnej do napędu turbiny gazowej.

Dość złożony zespół maszynowy stanowiący zasadniczą część instalacji, uwzględniając jeszcze specjalne urządzenie regulacyjne, stanowi jednak element nasuwający obawy co do niezawodności ruchu, a ogromne szybkości spalin i wody, czynią koniecznym zabezpieczenie trwałości rur. Wreszcie turbina gazowa, pracująca w wysokich temperaturach spalin, stanowi czuły element konstrukcyjny.

Instalacja ta jednak stanowi bardzo śmiały i daleko idący pomysł, który wykazał poważne zalety.

2. Badanie stopnia zanieczyszczenia kondensatora

(*Die Wärme*, sierpień, Nr. 31, r. 1933).

Przeprowadzenie badań odbiorczych kondensatora i ustalenie wielkości gwarantowanych bywa dotąd jeszcze w wielu wypadkach prawie niemożliwe, ze względu na trudności powstające przy ustalaniu stopnia jego zanieczyszczenia. Do określenia bowiem sprawności kondensatora trzeba, oprócz szybkości i temperatury wody chłodzącej, znać jeszcze i stopień zanieczyszczenia rur. Szlam osiadający na rurach niema prawie wpływu na ilość przepływającej wody.

Przy danej szybkości wody, stopień zanieczyszczenia rury kondensatora odpowiada stosunkowi ilości ciepła, jaka przechodzi przez zanieczyszczoną rurę, do tej ilości ciepła, jaka przejdzie przez rurę czystą; przyczem przez obie rury powinna przepływać woda o tej samej temperaturze i szybkości oraz rury leżeć winny w tej samej części kondensatora.

Badania stopnia zanieczyszczenia można przeprowadzać w dwojaki sposób: bada się oddzielnie rurę w kondensatorze, albo też wyjmując ją z kondensatora i przeprowadza badanie jej w kalorymetrze. Dokładniejsze jednak wyniki otrzymuje się przeprowadzając pomiar na miejscu w kondensatorze.

Do obliczenia zanieczyszczenia rury trzeba znać jej powierzchnię zewnętrzną, temperaturę pary, temperaturę wejściową i wyjściową wody chłodzącej, ilość wody i jej szybkość. Należy przytem zachować dla całego kondensatora stan równowagi cieplnej.

Przy kondensatorach o pojedynczym przepływie wody, wybrane dla próby rury po stronie wlotowej zamykane są gumowymi rurkami, które przeprowadza się przez dno kondensatora i łączy się z źródłem wody chłodzącej. Analogicznie postępujemy po stronie wylotowej, gdzie oprócz tego trzeba założyć zawór dławiący i dyszę dla pomiaru ilości przepływającej wody. Temperatury wody na wejściu i wyjściu są mierzone termometrami.

Ważny jest przytem właściwy wybór rur przeznaczonych do pomiaru. Badaniem muszą być objęte grupy rur nowych i zanieczyszczonych, nie można ograniczyć się tylko do pomiaru rur pojedynczych. Przy dużych kondensatorach poddaje się pomiarom np. 18 rur starych i 6 nowych. Rury stare muszą być przed pomiarem w zwykły sposób oczyszczone.

Wybiera się rury do pomiaru w ten sposób, że bierze się oddzielną grupę rur w górnej części pęku który zawiera w sobie rury stare i nowe, przy czem nowe rury składają się z rur starych, wyjętych z różnych miejsc kondensatora i założonych w miejscu badanem. Można również przeprowadzać pomiar w ważniejszych miejscach kondensatora nad jedną do dwóch rur nowych i nad kilkoma rurami starymi.

Ilość ciepła, jaka przechodzi przez rury stare, względnie nowe, oblicza się ze wzoru:

$$Q = \frac{W \cdot c_p}{F} \ln \frac{\Delta'}{\Delta''};$$

gdzie oznacza:

Q — ilość przeprowadzonego ciepła w Kal/h ,

W — ilość przepływającej wody w kg/h ,

c_p — ciepło właściwe wody,

F — zewnętrzna powierzchnia rur w m^2 ,

Δ' , Δ'' — różnica temperatur wody na wejściu i wyjściu przy początku względnie końcu pomiaru.

Samo obciążenie kondensatora jest odnoszone do stanu pary suchej nasyconej w miejscu, w którym przeprowadzono pomiar. Spadek ciśnienia w kondensatorze ma względnie mały wpływ na same wyniki pomiaru.

Stopień zanieczyszczenia kondensatora zmienia się z szybkością wody chłodzącej, a mianowicie zmniejsza się on ze wzrostem tej szybkości.

3. Przyszłość kotłów dwupłomienicowych.

(*Die Wärme*, sierpień, Nr. 31, r. 1933).

Kocioł dwupłomienicowy odznacza się prostotą budowy, przy odpowiednim ustawieniu jest łatwo dostępny, czyszczenie kotła nie sprawia żadnych trudności, a więc niebezpieczeństwo wybuchu jest w znacznym stopniu wyeliminowane. W wielu wypadkach kotły takie pozostają w ruchu nawet dłużej, niż 30 lat bez obniżenia ciśnienia roboczego i bez znaczniejszych kosztów naprawy.

Duża pojemność wodna stwarza duży zapas energii cieplnej, co pozwala kotłom nawet przy znacznych wahanich zapotrzebowania pary pracować jako zasobnik pary. Zaletą ta jednak nie jest należycie doceniana w zakładach przemysłowych tego rodzaju, jak kopalnie, fabryki włókiennicze i t. p. Z dwupłomienicowego kotła daje się również otrzymać stosunkowo suchą parę, dzięki dużej pojemności parowej.

Z drugiej jednak strony, ze względów konstrukcyjnych, powierzchnia ogrzewalna tych kotłów nie przekracza $110 m^2$, największy więc kocioł tego typu może odparować maksymalnie około $4000 kg/h$; takie ilości pary nie mogą oczywiście wchodzić w rachubę dla większych kotłowni, jak np. kotłownia elektrowni i t. p.

Zarzut, że dwupłomienicowy kocioł nie może pracować przy wyższych ciśnieniach nie jest całkowicie słuszny. Istnieją już obecnie tego rodzaju kotły na $18,3 atn$, a w zwykłych urządzeniach fabrycznych prawie nie bywa stosowane ciśnienie powyżej $17,5 atn$

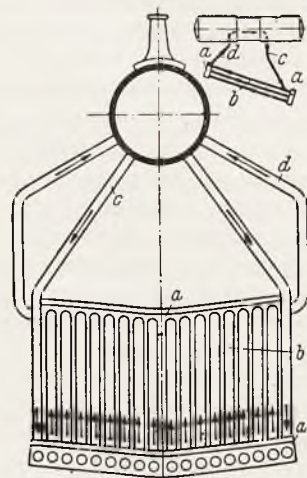
Według Ch Parsons'a podniesienie w tych kotłach ciśnienia do $35 atn$, zamiast używanego $17,5$ — daje podwyższenie sprawności tylko o 6% . Sprawność zwykłego dwupłomienicowego kotła nawet po zstosowaniu podgrzewacza i przegrzewacza nie przekracza, w dobrych warunkach 80% .

Polepszenie sprawności tych kotłów zostało dopiero stwierdzone w wypadku podwójnego kotła Lancashire'a, którego sprawność wyniosła 84% , a po uwzględnieniu pracy wentylatora ssącego i tłoczącego — $83,3\%$. W kotle tym założone zostały poniżej płomienic rury, idące wzdłuż kotła, przez które (zamiast jak normalnie — dolnym kanałem) przepływały spaliny. Na przodzie kotła gazy te omywają podgrzewacz powietrza, poczem przechodzą ku tyłowi kotła. Nie zastosowano tu podgrzewacza wody, a na jego miejsce za kotłem wbudowano przegrzewacz pary i przy takim rozplanowaniu straty promieniowania wyniosły tylko $5,25\%$.

4. Kocioł opłomkowy z poziomymi skrzyniami wodnemi.

(*V. D. I.*, lipiec, Nr. 27, r. 1933).

Zaprojektowany przez inżyniera szwedzkiego J. G. Sandwall'a kocioł ten różni się od kotłów tego typu tem, że posiada poziome skrzynie wodne, jak na rys. 1. Skrzynie te składają się z czworokątnych rur (a), zgiętych pod kątem rozwartym którego ramiona są nachylone do poziomu pod kątem $15 - 20^\circ$.



Rys. 1

- a—rury czworokątne
- b—opłomki
- c—rury doprowadzające
- d—rury łączące skrzynie.

Właściwe opłomki kotła (b), o tem samym pochyleniu, są wwalcowane w skrzynki; układ ich ma zapewnić równomierne wznoszenie się mieszaniny pary i wody, przy bardzo małych oporach. Każda ze skrzynek ma po dwie rury doprowadzające i odprowadzające, prowadzone po bokach i omywane spalinami a tworzące część powierzchni ogrzewalnej. Przez umieszczenie tych rur, na bocznych ścianach kotła

zmniejszone są straty promieniowania, a przez ich wygięcie umożliwiające jest swobodne wydłużenie się poszczególnych skrzynek. Kocioł więc składa się z poszczególnych i zupełnie niezależnych od siebie małych odcinków, a wszystkie rury jednej skrzynki są na tym samym poziomie. Ma to dać jednakowe ich obciążenie cieplne przy takiej samej mieszance pary i wody, a przepływ wody ma być bardzo silny we wszystkich rurach tego kotła.

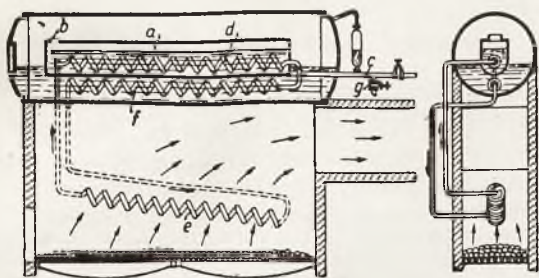
Dzięki wwalcowaniu rurek w skrzynki można się spodziewać wyrównania temperatur, nie powinny więc występować tak niepożądane dodatkowe wydłużenia.

Kocioł ten ma być bardzo elastyczny, łatwy do uruchomienia, a samo wykonanie proste i nie droższe od budowy zwykłego kotła tego typu.

5. Nowa konstrukcja destylatora wody do zasilania kotłów.

(Die Wärme, Nr. 24, r. 1933).

Na rysunku 1 przedstawiony jest schema czynnie nowy rodzaj destylatora, który pracuje w pewnej kotłowni we Francji.



Rys. 1

W kotle walczkowym jest pomieszczony walczak (a) z włazem (b) dla odprowadzenia oparów.

Woda surowa dopływa do tego walczaka z zewnętrznego zbiornika przewodem zasilającym (c) i ogrzewana wężownicą wyparowuje. Wężownica (d) razem z powierzchnią ogrzewalną w palenisku (e) tworzy zamknięty system rurowy pracujący pod tym samym ciśnieniem, co kocioł.

Dla bezpieczeństwa ustawiona jest jeszcze jedna wężownica w kotle (f), która odprowadza ciepło w wypadku gdy zabraknie surowej wody w wewnętrznym walczaku.

Destylator ustawiony jest przy kotle Babcock'a typu okrętowego 270 m² pow. ogrzew., 16 atn, wydajności 7,5 t/h i zasilany normalnie wodą z podgrzewacza. Kocioł ten posiada 25 rur, z których dwie środkowe tworzą właśnie zamknięty system rurowy destylatora. Walczak wody surowej odparowuje 475 kg/h wody zasilającej nieoczyszczonej, o temperaturze na wlocie 30°.

System rurowy destylatora posiada 21 m² powierzchni ogrzewalnej i ciśnienie 21 atn, wężownica w pomocniczym walczaku 8 m² pow. zewnętrznej, a ilość ciepła, jaką oddaje wodzie surowej wynosi 35000 kal/m²h.

W porównaniu ze zwykłym destylatorem, ogrzewanym parą pobieraną o niskim ciśnieniu, względnie parą świeżą, straty cieplne są tutaj znacznie zmniejszone, opary bowiem skraplają się wprost w walczaku kotła.

Przez otwieranie zaworu spustowego (g), w przerwach pracy destylatora, okazało się zbędnym perjodyczne czyszczenie wężownic grzejnych. Przez zawór ten woda z pomocniczego walczaka zostaje wypychana nazewnątrz i unosi ze sobą wszystkie stałe pozostałości. Odkształcenia wężownicy wywołane przytem, zmianą ciśnienia, powodują odskakiwanie osadu wody surowej z zewnętrznych powierzchni wężownic, który również wyrzucany jest nazewnątrz.

Opisane urządzenie jest już od dłuższego czasu w ruchu, przyczem opróżnianie walczaka dla wody surowej odbywa się codziennie i nie stwierdzono dotąd żadnych nagromadzeń osadu, ani też przerw w ruchu. Projektuje się tylko, przez zmianę w prowadzeniu rur, poprawić cyrkulację w systemie rurowym. Przy istniejącym urządzeniu występują bowiem różnice ciśnienia, co wskazuje na znaczne opory w wężownicach i połączeniach.

A. W.

Skrzynka pocztowa.

O pomiarze pary zapomocą paromierzy.

Jeszcze obecnie często spotykamy się ze zdaniem, że pomiary ilości pary przy pomocy paromierzy nie spełniają należycie swego zadania. O ile to mniemanie nie jest słuszne świadczy choćby fakt, że w Niemczech, w I. G. Farbenindustrie, pracuje przeszło 10 000 dysz i kryz z błędem nie większym, niż 2%. Faktem jest, że pomiar ilości pary jest dosyć trudny i w pewnych okolicznościach błędy popełnione mogą wynieść 10% i więcej.

Wydane w r. 1932 przez Związek Niemieckich Inżynierów t. zw. „Regeln für die Durchflussmessung mit genormten Düsen und Blenden” umożliwiającą dokładne wyliczenie dysz i kryz pomiarowych o tolerancji nie wyższej, niż 1 — 2,5%. Jeśli idzie o konstrukcję przyrządów spiętrzających parę, to normy powyższe dają wytyczne dla ich budowy tak, że poruszanie tego na tem miejscu nie miałyby celu.

Dyszę względnie kryzę należy wbudować ściśle w środku rurociągu. Najwyższe punkty odbioru ciśnienia (plus i minus) muszą leżeć dokładnie poziomo. Wyobraźmy sobie np. przy dyszy wg. rys. 1, że rurki prowadzące do zbiorniczków kondensatu nie są umieszczone dokładnie poziomo. Wtedy zero aparatu nie zbiegnie się z zerem przepływu pary. Błąd przy małym obciążeniu może być stosunkowo duży, jak wskazuje przykład:

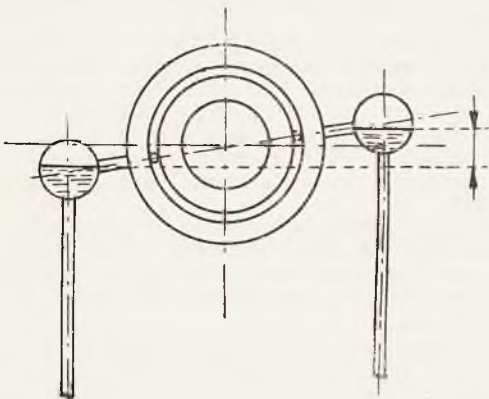
Niech jednostronna odległość od poziomu wyniesie 8 mm (co przy dużych średnicach rurociągów może się z łatwością wydarzyć) wtedy różnica słupa wody nad manometrem różnicowym wyniesie 16 mm. Niech w chwili pomiaru użyteczna różnica ciśnień ma wynieść 100 mm. sł. wody, to błąd pomiaru

$$\frac{\sqrt{100 + 16} - 10}{10} \times 100 = 7,7\%$$

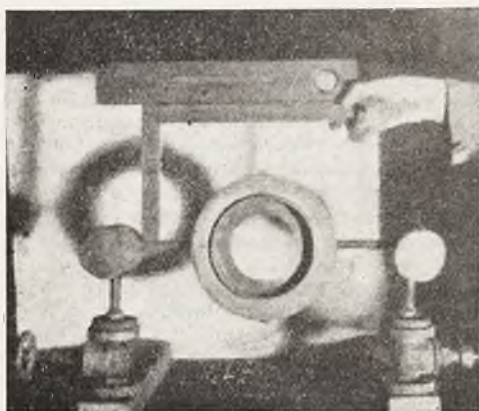
Dla uniknięcia tej różnicy można użyć przedstawionej na rys. 2 bardzo praktycznej poziomnicy.

Ważną rzeczą jest wybór odpowiednich zbiorniczków kondensatu. Przy nagłej zmianie obciążenia od 0 do 100% plusowy przewód zostaje częściowo opróżniony z wody a na to wolne miejsce wchodzi para. Para ta winna, o ile pomiar ma być wolny od błędów, natychmiast się skroplić. Bliższe atoli pomiary wskazują, że np. przy zbiorniczkach o długości 140 mm i średnicy 51 mm oraz ciśnieniu roboczym 5 atn para skrapla się dopiero po 110 min (die Wärme, 1933, str. 105). Prowadzi to oczywiście do ciągłych błędów pomiaru. Dla uniknięcia ich należy budować zbiorniczki możliwie duże oraz zwracać specjalną uwagę na szybkie skraplanie się pary. Zasadą winno być, ażeby przy zmianie obciążenia od 0 do 100% powierzchnia wody w zbiorniczku opadła o max 5 mm. Dla dobrego odprowadzania ciepła zastosowano w wielu wypadkach z po-

wodzeniem rurki żebrowe, skracając w ten sposób czas skraplania pary do 5 — 10 min. Inne rozwiązanie, podane na rys. 3, przedstawiające rurki miedziane, umieszczone na obu przewodach w ściśle poziomej płaszczyźnie, tych wad nie posiada, jednak wymaga b. starannego montażu i częstego sprawdzania poziomogdyż cienkie rurki miedziane poddają się łatwo odkształceniu.



Rys. 1. Falszywy montaż dyszy,



Rys. 2. Zastosowanie poziomnicy.

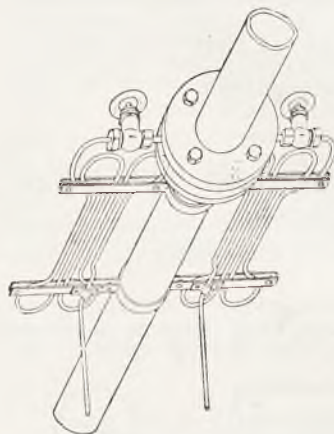
Jeśli idzie o sam przyrząd wskazujący ew. rejestrujący, to sprawdzanie jego może się odbywać nawet w ruchu przy pomocy rurki szklanej z wodą, jak to jest wskazane na rys. 4. Uda się w ten sposób, przy użyciu rurki o długości 800 do 1000 mm, sprawdzić aparat do $\frac{1}{3}$ — $\frac{1}{2}$ wychylenia zależnie od użytecznej różnicy ciśnień. Znany jest przytem fakt, że największy błąd występuje przeważnie na początku skali.

Ustawiona wg. powyższych wskazówek aparatura pomiarowa, o ile organ spiętrzający został prawidłowo zaprojektowany, nadaje się w zupełności dla ciągłej kontroli wytwórców oraz odbiorców pary. Przy-

tem jednak należy zwrócić szczególną uwagę, że wzór na ilość przepływającej pary:

$$G = 0,04436 \cdot \alpha \cdot \varepsilon \cdot d^2 \cdot \sqrt{H' \cdot \gamma_1}$$

zawiera ciężar właściwy (γ_1) pary, który jest zależny od ciśnienia i temperatury. Chcąc więc dokładnie wyliczyć ilość pary, musimy przy każdym pomiarze rejestrującym mieć również rejestrację ciśnienia i temperatury i przeliczać za pewien okres czasu punkt po punkcie wykresu. W praktyce tego rodzaju



Rys. 3. Zastosowanie rurek miedzianych.



Rys. 4. Sprawdzenie paromierza.

wyliczanie nie jest do pomyślenia, więc operuje się średnim ciśnieniem i temperaturą. Lecz i w tym wypadku, chcąc uniknąć nadmiernych kosztów instalacji oraz utrudnień w obliczeniach, należy wybierać odpowiednie miejsca dla ustawienia paromierzy. I tak np. przy kotle wygodniej jest umieścić dyszę na przewodzie pary nasyconej (między kotłem i przegrzewaczem) niż przegrzanej, gdyż odpada wtedy jeden czynnik — temperatura. Zachodzi coprawda w tym wypadku obawa, że para może porwać ze sobą wodę kotłową; należy wtedy sprawdzić wprost pomiar zbiornikami wody. Autor niniejszego, przeprowadzając powyższy pomiar przy kotle 600 m² pow. ogrz. (sekcyjny, typu poprzecznego syst. B. & W. z podmuchem) stwierdził różnicę między wskazaniem paromierza a ilością zmierzonej wody 2,1%. Próba trwała ca 8 godz. przy czem obciążenie wahało się w granicach ok. 30%.

Podobnie jak wyżej, wygodnie jest umieścić aparaty za regulatorami ciśnienia, które przy dobrej konstrukcji pracują bez zarzutu, utrzymując ciśnienie praktycznie stałe.

Tam, gdzie wahania temperatury nie są większe niż 10 — 20°C można zaniechać również rejestracji teje, powiększając nieco błąd pomiaru.

H. Bock, inż.

T R E Ś Ć: A. E. Sierżputowski, inż. O sposobach obliczania i projektowania połączeń rurowych na parę wysokoprężną i wysokoprzeżrzaną. — St. Jamróz, dr. inż. Zagadnienie dopuszczalnych naprężeń dla blach kotłowych z uwzględnieniem wpływu temperatury. — Ś. p. prof. Tadeusz Fiedler. — Wspomnienie pośmiertne. — KRONIKA TECHNICZNA. Nowy kocioł parowy „Velox” Zakładów Brown Boveri. Badania stopnia zanieczyszczenia kondensatora. Przyszłość kotłów dwupłomienicowych. Kocioł opłomkowy z poziomymi skrzyniami wodnymi. Nowa konstrukcja destylatora wody do zasilania kotłów. SKRZYNIKA POCZTOWA. H. Bock, O pomiarze pary zapomocą paromierzy.

SOMMAIRE: A. E. Sierżputowski, ing. Le calcul et la construction des joints des tuyauteries pour la vapeur de très haute pression et de très haute surchauffe. — St. Jamróz, dr. ing. Les limites de tension des tôles des chaudières au point de vue de la température des tôles. — Professeur Thaddée Fiedler — un nécrologue. — CHRONIQUE. La chaudière „Velox” construite par l’usine Brown Boveri. L’appréciation des incrustations dans les tubes du condenseur. L’avenir des chaudières Lancashire. Une chaudière multitubulaire à sections horizontales. Un nouveau destilleur de l’eau d’alimentation. BOITE à LETTRES. H. Bock, ing. Les measurements de la quantité de vapeur.